

الشريان الوردي
الثالث عاًم (مثير)
د. نبيل جنان
الفعل الثاني / الجزيء الأول

١١٢ الفعل الثاني

النمذج الذري
Atomic Models

مقدمة :-

كانت فكرة تكون العناصر الكيميائية من ذرات مقبولة
منذ العمالق القرن التاسع عشر ولكن معلوماً منها عن الذرات
نفسها كانت تحيط وافية وهي بدأ في القرن العشرين
ثبت ببطء قاطعاً أن الذرة ليست أصغر وحدة حتى الماواة
غير قابلة للت分割 وهي كما كان في التو قد أعلنت ذلك عام
١٨٠٨، وفي عام ١٨٩٧ أثبتت شنل مؤسسة الألكترون، ثم
قام باركر بأهم التجارب المتعلقة بأول مطلع العصر الحديث
بالكترونات الفرع.

كان محمود جوز الذرة أيام مؤسس كيماويه قاسمه الغرب جداً
غير قابلة للت分割 ورسم لها وفر صنداً لجوز أنس
جريدة للنشرية الحركية للغازات وكانت ما يحتج
التجارب المبدعة الكهربائية للذرات كاز لايد
انا تذكر ما ذكر جريدة للذرة.

وسماها بـ: نموذج الذرة :-

١) نموذج نومن

٢) نموذج رذرفلور

٣) نموذج بور

وستطرقاً بالتفصيل لاحقاً

د. نبيل جنان بهنام فتوحي
جامعة بغداد / كلية العلوم للبناد
قسم الفيزياء

الاصدام الفركي Atomic Collision

- حاصل على الجهد المترافق بمتعددات الجسيمات وفقاً لقوانين مكانيكا
النسبية .

- الاصدام (الاستطلاع) : صد المخافن الجسيم من مسار حرنته
الأصلية ، وذلك بسبب تفاعلها مع جسم آخر
(المشتتة Scatter) ، كما في الشكل 3.6 .
Collision
حيث إذا استطلاع (Scattering) نجت بوجوه تفاعل
Scattering theory بين جسيمين ، فإن نظرية الاستطلاع Scattering Theory
تعرف أيضًا بنظرية الاصدام Collision Theory .

و يترافق سير كملي الاستطلاع (الاصدام) مع الزمن طي ان
الجسيمين المتعارضين يغيران عن بعضهما البعض بعد "الاصدام"
ويتحركان بتجاه بعضهما البعض ، والنتيجة التالية ، وبسبب
افتراضها منطقه فالرجاء سوق بتفاعلات مع بعضهما وهي النهاية
ليسترون عن بعضهما طي اتجاهات مختلفة كما في

الشكل (3) .

وبقيه الاستطلاع المزدوج الذري الثالث يجب معرفة مفهوم
المنبع الرئيسي التفاعلي $\frac{5}{25}$ والمقطع الرئيسي التفاعلي σ_0 وذلك
لذلك أليه التأثر بين الجسيمات ونظرية الاصدام غير

المستوى الذكي .

(2) Integral and Differential cross Sections

قطع العرضي التغاطي $\frac{5}{20}$ وقطع العرضي الكلي \sim

لتفرض ان لدينا حزنة معازية مابين A بكتانه تدفق
البعض (particle flux density) $I_A = N_A v_A$ التي تتدفق بالقرب من
النقطة B بكتانه v_B . جميع البعثات المندفعة (المارة)
بالحلقة المحاذفة (annular ring) يدخلن قدر (b) وعرض db
 حول النقطة B سوف تتدفق بزاوية $\theta + d\theta/2$
سوف نفرض ان صلالته متساوية كلامبي النفع (1)

فـ $dI_A = I_A dA = \pi r^2 2\pi b db$ خلاصـ هذه الـ مـ حـ لـ عـةـ

$$\frac{dI_A(\theta, \phi)}{I_A} \cdot \frac{d\phi}{2\pi} = b \frac{db}{d\theta} d\theta \quad \dots \dots \dots \quad (1)$$

رسالة المدار A_D تكتب بالطريقة:

- الزاوية العلامة Ω :

$$A_D = R^2 d\Omega = R^2 \sin\theta d\phi d\theta$$

من A_0 والمسافة $= R$ من مركز المكعب ونعمل على
الخط الثاني

$$\frac{dI_A(\varphi, \phi)}{I_A} \frac{d\phi}{2\pi} = b \frac{db}{d\varphi} d\varphi d\phi \quad (2)$$

الذكي يهدى عبر التشريع ϕ bdb من الكلمة كحاجي
السنه (٢٠١٦)

نسبة الكربنة لجموع العناصر الساقطة A (المائة) بحسب كل الدرجات B يكتبه

$$V = A \Delta x \quad \text{حيث} \\ \cdot \text{ مساحة المثلث} = \frac{1}{2} \times \text{أرتفاع} \times \text{اسفل}.$$

$$\frac{dI_A(\theta, \phi)}{I_A} = n_B A \Delta \times b \frac{db}{d\theta} d\theta d\phi \quad \text{--- (3) (b)}$$

د. نبيل جنان بهنام فتوحى
جامعة بغداد / كلية العلوم للبناد
قسم الفيزياء

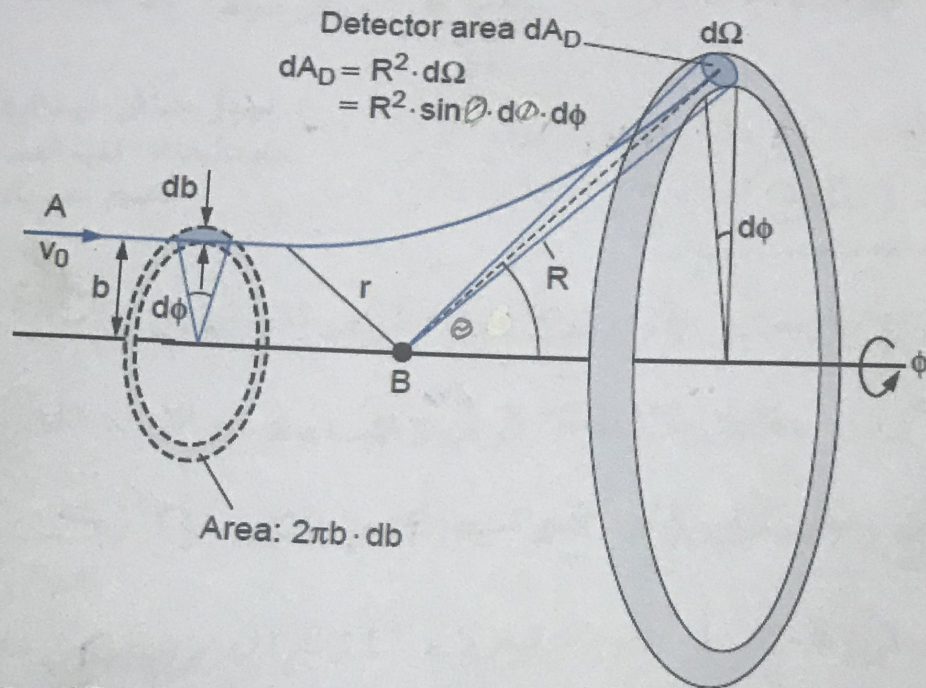


Fig. 1 Relation between impact parameter b , scattering angle Θ and differential cross section $d\sigma/d\Omega$

المقدمة (1) العلاقة بين عامل التصادم (b)، وزاوية الا تصادم (Θ) و المقطع العرضي المقطعي $\frac{d\sigma}{d\Omega}$ ، كنوز

جزء من ايجيات A بالقرب من المقدمة B .

لبنانية حماطي السكة (3.2) (الحساب المقطع العرضي الكلبي) $\frac{d}{dt}$

اين (شتت الكرة) $\frac{dI_A}{dt}$ بعديه مانعه.

د. نبيل جنان بهنام فتوحي
جامعة بغداد / كلية العلوم للبنان
قسم الفيزياء

道士 السكة (3.2)

كثافة من الجسيمات A في قبة طورن للجيسيمات

$$\frac{dI_A}{dt} = N \text{ تردد ثالثي لوحدة المساحة في اتجاه المحور السيني}$$

خلال طبقة بسماكة dx تدعى جسيمات B بكتافة n_B

حيث السكة (2.2) حيث يعرف المقطع العرضي التفاضلي dI_{int}

حيث المساحة الناتجة عن تشتت الجسيمات السابقة A

هي جسيمات الهدف B التي لها مساحة $(\pi r^2) = \pi d_{int}^2$ حيث A

(A: الجسيمات السابقة) سوز تشتت بزاوية θ اكبر من الزاوية

الانحراف الغرافي، ونفق القطر.

وحيث هذه الظروف يكون النسبة الكسرية الناتجة

شتتة الجسيمات بزاوية انحراف θ والمسطحة بوليد

الكافئ بزاوية صلبة $\Delta\phi = \sin \theta d\theta d\phi$

تم بفضل دارمشتات

$$\frac{dI}{I} = n_B A \Delta x \frac{d\sigma}{dr} dr = n_B A \Delta x \frac{d\sigma}{dr} \sin \alpha d\phi$$

--- (4)

ناتج طوري معاذة (3) و (4)

$$n_B A \Delta x b \frac{db}{d\alpha} d\alpha d\phi = n_B A \Delta x \frac{d\sigma}{dr} \sin \alpha d\phi$$

$$\boxed{\frac{d\sigma}{dr} = b \frac{db}{d\alpha} \cdot \frac{1}{\sin \alpha}}$$

--- (5)

المعادلة 1 أعلاه تمثل المقطع العرضي التفاضلي

Notes

* المسار اخر Λ هو المسار الفاصل بين تفاعلين متتاليين لا يجد بينهما تفاعل.

$$\Lambda = \frac{1}{n_B}$$

* ثبات القياسات.

مسار آخر المقطع العرضي التفاضلي $\frac{d\sigma}{dr}$ بالشكل

و ذكر المعادلات.

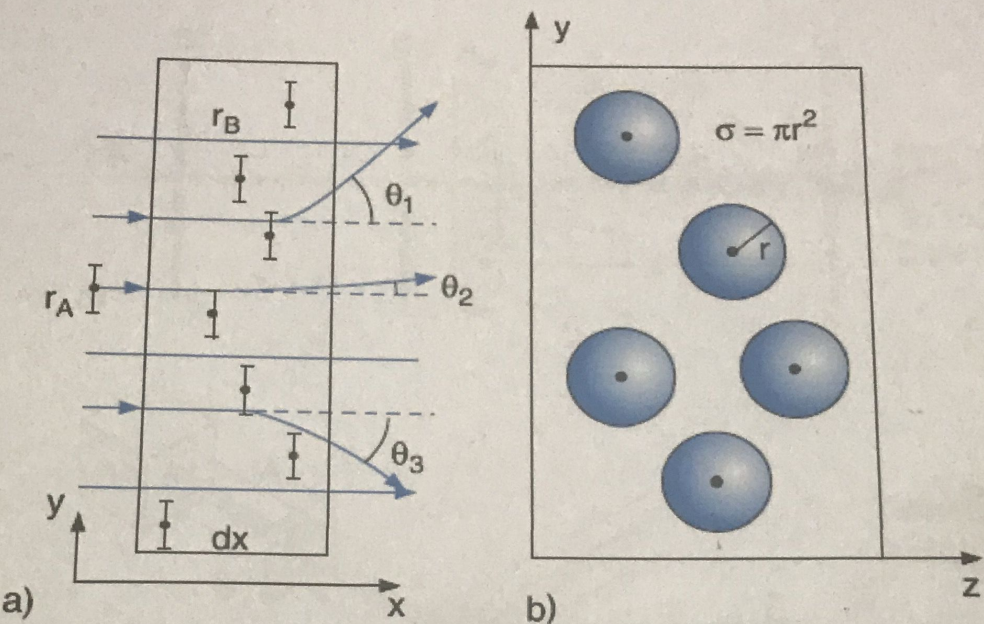


Fig. 2. (a) Scattering of atoms A by atoms B with number density n_B in a layer with thickness dx . (b) Illustration of the collision cross section by circles with radius $r = r_A + r_B$

المُتَفَرِّع (2) يوضح :

- استطاعه الذرات A بوسطه الذرات B التي تصادرتها $\cdot dx$ خلال طبقه مساحة n_B
- يوضح المقطع الفرعي للتضاد بوسطه دوائر نصف قطرها $\cdot r = r_A + r_B$
- r_A : نصف قطر الذرة A
- r_B : نصف قطر الذرة B

(b)

الفيزياء والرسالة (W. One. Physics)

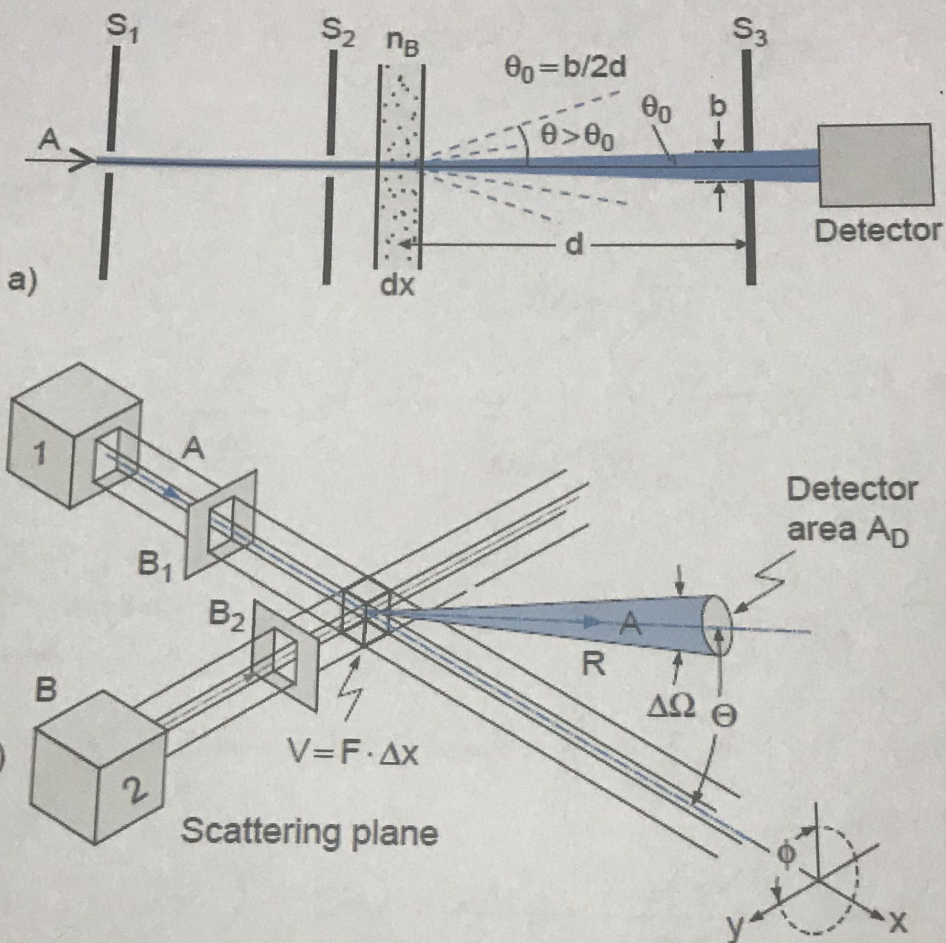


Fig. 3. (a) Measurement of the integral cross section σ .
 (b) Measurement of the differential cross section $d\sigma/d\Omega$

الشكل (3) يوضح التجربة المختبرية لبيانه

• - حساب المقطع الفرعي التفاضلي ~

• - حساب المقطع الفرعي التكاملي

$$\frac{d\sigma}{d\Omega}$$

د. نبيل جنان بنهان فتوحى
 جامعة بغداد / كلية العلوم للبنان
 قسم الفيزياء

(7)

المقاطع العرضي للعامل σ (Integral Cross Section)

تُكامل $\frac{d\sigma}{dr}$ على ازدياد r حتى حدود

$\Omega(b_{\max}) = \Omega_{\min}$ و $\Omega(b=0) = \pi$

$$\sigma = \int \frac{d\sigma}{dr} dr = \iint_{\Omega=\pi, \phi=0}^{r_{\min}, 2\pi} \frac{d\sigma}{dr} \sin\theta d\theta d\phi$$

د. نبيل جنان بنهام فتوحى
جامعة بغداد / كلية العلوم للبنات
قسم الفيزياء

زاوية الالهار فى الأذى (زاوية الاستلاق) تظل أقل زاوية يتشرقا
الها شف.

نحو من معنى معن $\frac{d\sigma}{dr}$ من المعادلة (6)

$$\sigma = \int_{\Omega=\pi}^{r_{\min}} \int_{\phi=0}^{2\pi} b \frac{db}{dr} \frac{1}{\sin\theta} \sin\theta d\theta d\phi = \int_{b=0}^{b_{\max}} b db \int_{\phi=0}^{2\pi} d\phi$$

لاحظ تغير حدود الدوائر

$$= \frac{1}{2} b_{\max}^2 + \frac{1}{2}\pi$$

$= \pi b_{\max}^2$ --- (7)

$100 \sigma = \pi b_{\max}^2$

المقطع العرضي
العامل

Wolfgang Demtröder, Atoms, Molecules and Photons
An Introduction to Atomic-, Molecular- and Quantum
Physics, 6 Ed., Springer (2010).

* الفيزياء الذريّة تأليف د. طالب ناجي أكفافى، د. جابر عادى
د. صبرى موسى.

* H. Semat, Introduction to Atomic and Nuclear physics
5 Ed., 1971.

مقدمة ونفيذ لكتاب طه سمات
كتاب مدخل في الفيزياء الذرية
كتاب مدخل في الفيزياء الذرية

ما هو المقطع الضروري للعافية؟
ما هو المقطع الضروري للعافية؟
ميزة بين المقطع الضروري للعافية $\frac{1}{2}$ و $\frac{1}{4}$ والمقطع
الضروري للعافية له.

د. نبيل جنان بهنام فتوحى
جامعة بغداد / كلية العلوم للبنات
قسم الفيزياء

(8) الفيزياء الارضية
الثالث عالم / فيزياء
دشنه جيليان
الفصل الثاني اجراءاتي

الفصل الثاني

مودع تومسن الاركيي thomson's Atomic model

Ref.
Wolfgang An

في 25 1896 اجرى جوزيف تومسن ابحاثاً حول حواجز

الانبعاث الطائوردي وفى 1897 ادلى الاوساط العالمية
باعلانه ان الجسيمات المكونة لانبعاث الطائوردى هي اصغر حجمها من
الذرات، قد يرى هذه الجسيمات بالاكترونات.

لما أتى تومسن صاحب نسبية ثمرة الالكترون الى كثافة $\left(\frac{e}{m}\right)$
تم اقتراح موججاً بيفي الذرة كمنطقة تنتشر فيها كثافة معينة
مع الالكترونات متغيرة خلال المذقة بمتغير يسمى
البدور على فاكهة البليط او الربيب في تسلسل غير اطوال، حيث
تكون الالكترونات مالية السمية والذرة تحمل مسماها فرمانها.

ويذكر مجموع الكثافة السالبة $(\bar{q} = -Ze)$ ومجموع الكثافة
الإيجيبية $(q = +Ze)$ (راجعي النها (1))

الحال الكهربائي في لثنة كروية متتجانسة بقطر R
وسمة $= (Ze)$ عند مسافة $r \leq R$ من مركز، تعلق بالعلاقة:

$$E = \frac{Q}{4\pi\epsilon_0 r^2} = \frac{Ze^2}{4\pi\epsilon_0 R^3} \quad \dots (1)$$

، لذا النها راى لثنة قدر (V) تعلق بالعلاقة:

$$V = \frac{Ze^2 r^3}{R^3} \quad \dots (1.2)$$

اولاً اصلنا المكثفات السالبة فما هي القوى المعاكسة للألكترون

$$F = -eE = -\frac{K'v}{r} \quad (2)$$

note
 first $= -Kv$
 $F_g = qE$

$$K' = \frac{ze^2}{4\pi\epsilon_0 R^3} \quad \text{كون} \quad (2.a)$$

K' : ثابتة حركة

اما اذا حدث قطعية الايونات حينها فمعنى اهتزاز يوادي اي اذ يتصرف هذا الايونات كمتذبذب تواقي (Harmonic oscillator) يجعل اهتزاز تواقي (القوى المعاكسة لاهتزاز خفيف) في الاتجاه بتردد ω :

$$\omega = \sqrt{\frac{K'}{m}} = \sqrt{\frac{ze^2}{4\pi\epsilon_0 m R^3}} \quad (3)$$

اذ افترضنا ان لدينا $(z=1)$ من الايونات، سواف نذكر ان حالة كل ايونات هي تواقي احتاثة المكثفات المربعة ($n_+ = n_e$)

$$n_e = \frac{z}{\frac{4}{3}\pi R^3} \quad (4)$$

n_e = كثافة شبه الايونات

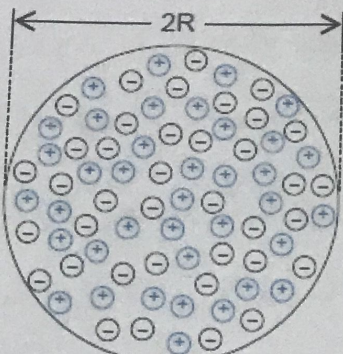
وحيدي اذ الايونات معروفة تنتهي اهتزاز ذلك كثافة المكثفات المعاكسة بتردد يدعى تردد البلازما

المكتسب بالعلاقة ω_p :-

$$\omega_p = \sqrt{\frac{n_e e^2}{\epsilon_0 m_e}} = \sqrt{\frac{3ze^2}{4\pi\epsilon_0 m_e R^3}} \quad (5)$$

(9)

د. نبيل جنان بهنام فتوحى
جامعة بغداد - كلية العلوم للبنات
قسم التربية



$$n_e = n_+ = \frac{3Z}{4\pi R^3}$$

Fig. 1. Thomson's "raisin cake" model for the distribution of positive and negative charges in the atom

١٢) نموذج توصي في توزيع النساء العربية والمالية
د. افلان الدارع.

$$K_c = \frac{1}{4\pi\varepsilon_0} \quad \text{نسبة كولوم} -$$

$$= 8.98 \times 10^9 \text{ N.m}^2/\text{C}^2$$

$$\approx 9 \times 10^9 \text{ Nm}^2/\text{C}^2$$

يختلف ω عن حالات W بمعامل β .

إذا طبقت (اعتراضاته) الذرات بجملة الغور فإن الذرات سوف تتحسن صحة العلاقة كسر التردد الرئيسي ω بأقصى توافق $\omega_n = \omega$. الذرات تتوجه بجملة الغور أو امتداد الألكترونات بينما حيث تبصت ثورة (أو طاقة) يتبعى من صحة الترددات.

مع ذلك التغيرات الملاحدة للغور المتغير أو المتباينة من الذرات حتى لا تتفق مع الترددات التي قدرها توصى من سعور ذهب.

الأخيرات الآتية خط موذج توصى معمدة من قبل ثيودر الاستطاع

يوكاله روز فور روز ملائمه بالاستعمال حيث إنها المتباعدة عن الذرات المتباينة، هذه التجارب أثبتت توسيع زاوية الالتحام المخصوصة المترافقه مع ما توقعه نموذج توصى.

ويكفي تلخيص أسم ما يجرى في نموذج توصى بالأعلى.

- ١ - النواة كثرة مساحة، تحيق العبران مسكونة بهذلة درجة.
- ٢ - توزيع الألكترونات السابقة الشدة بنتقام داخل الذرة.
- ٣ - الذرة متقدمة كثرة بياً.

طبع مثل نموذج توصى

- ٤ - لم يستطع تفسير بعث الألكترونات (رساب) في حالة انزانت رغم قوة التنازع بينها حسب قانون كولو.

- ٥ - كجزء من تفسير يعني الحماية الكيميائية للذرة.

٣ - كجزء من تفسير نتائج تجربة ر3، طورت حينئذ قام بعمل
خريطة من الناحية بجيئات الفا ودرس توزيع الراديو للبيمار
المستحوله المستطاء محلياً فوجد ما تختلف عن ما وقعته نومن

پلٹک (2) نفترم انداز جیسیت \propto بستہ $= q = +2e$

وَ كُتُبَةٌ مِنْ كُلِّ مِنَ الْمُؤْمِنَاتِ مَا يَرَوْنَ وَ مَا يَرَنَ

$m_e \approx 1.67 \times 10^{-27} \text{ كيلوغرام}$. يُحسب حفرة كثافة $Q = +ze$

هذا الكترونات الاردة لا تسمى بـ "كل كبيرة مني احراف جميات العا (أ) المقابلة . مع ذلك فانها ملحوظة بحسب ايا تجيئ

تَعْدِلُكَ اللَّهُمَّ حَلَّ لِلْمَاءَ - رَبُّ الْأَرْضَ

الجسي = المكرونة - المتغيرة في الزنة بنافع قطر R ومعامل

الآن (b > R) فـ $i_{\text{min}}^{\text{out}}$ (b) Impact parameter المطلوب

تُحرَفُ تَدِيرًا. مِنْ أَبْهَلِ قِيَاسِ تَوزُّعِ الشَّكْنَةِ دَائِرَةً الَّذِي

التقديرات التالية تعكس أكبر الارتفاعات الممكنة (b ≤ 8)

متباين σ المتناسب مع المروجية α . وظهور التباين σ ينبع من توزيع σ_{max} لزخم المدى الاتساعي من زاوية الانحراف θ .

سابق موئي يقتل ملائكة اراوية حلولاً (ماذا؟) سرقة

اداً مات لدينا خدعة من جيم ^{رمعة} M3 بالاتجاه المعاو المعياري X
تنحرف بزاوية θ عندما تدخل الارض كاماً لا حذف الشكل (2).

(11)

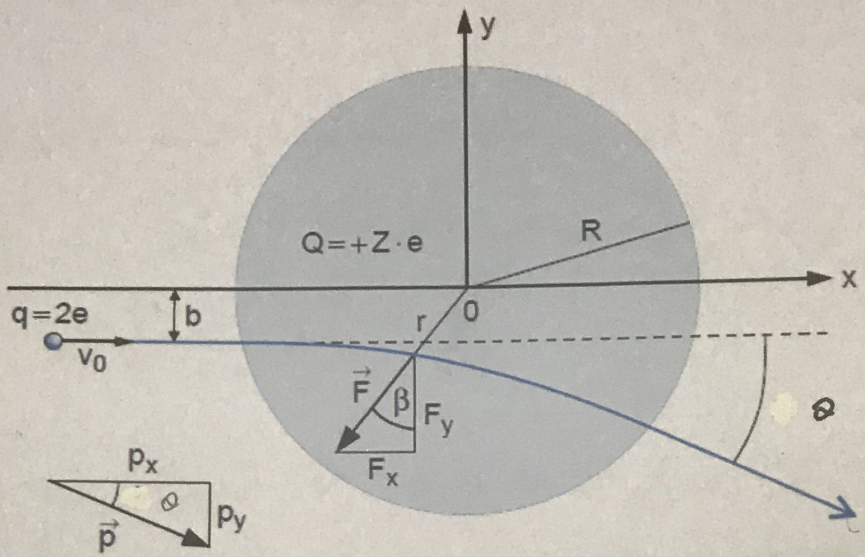


Fig. 2. Scattering of a particle with charge q by a homogeneous spherical charge distribution with total charge Q

الشكل (2) تشتت الجسيم بمحنه q بواسطه شحنة خارجيه
 Q متساوية لشحنته الكليه

(12)

نواتج صریحه لمركبه قوه الدفع "Repulsive Force component"

$$F_y = F(r) \cos \beta \quad (6)$$

التي تؤثر على مساره من اتجاه الارتفاع وتبين
تغیر محيط الرسم كما في الشكل السابع :

$$\Delta P_y = \int F_y dt \quad (7)$$

العدو $F = \sqrt{F_x^2 + F_y^2}$ كنه المدافة β من الممكن جوازه اقبال الكرة بالى
من المقادير = (1) يمكن ان نجد التقوس للمسار
 $d = 2\sqrt{R^2 - b^2}$ و تقارب المسار قليلاً الى خط مستقيم من طور $\cos \beta \approx b/r$

: During the Time - of - flight

$$v_0 = \frac{d}{T} = \frac{\text{المدار (المسافة)}}{\text{الزمن}} \\ = \frac{2\sqrt{R^2 - b^2}}{T}$$

أزمنة التحلق ،

د. نبيل جنان بهنام فتوحى
جامعة بغداد / كلية العلوم للبنات
قسم الفيزياء

$$T = \frac{2}{g} \sqrt{R^2 - b^2} \quad (8)$$

بالتعويذ بالعادلات سن حم F_y و $\cos \beta$ بالعادلة (7)
نصل ،

$$F_y = f(r) \cos \beta$$

$$= qE \frac{b}{r}$$

$$\therefore q = 2e$$

$$= 2e \left[\frac{Q}{\pi \epsilon_0 R^2} \right] \frac{b}{r}$$

$$Q = +Ze$$

$$= \frac{Z e^2}{\pi \epsilon_0 R^3} b$$

$$R \approx r$$

$$\therefore K = \frac{e^2}{\pi \epsilon_0 R^3}$$

$$f_y = Z K b$$

(9)

(7) Δp_y का अवधारणा करें।

$$\Delta p_y = \int z K b dT$$

$$= 2Z K b T \approx \frac{4Z K b}{2\ell_0} \sqrt{R^2 - b^2}$$

$$\Delta p_y \approx \frac{4Z K b}{2\ell_0} \sqrt{R^2 - b^2} \quad (10)$$

$P_x \approx P = \text{constant}$ तथा $\Delta p_y \ll p_x$ है।

इसलिए

$$\frac{\Delta p_y}{P_x} \times \frac{\Delta p_y}{P_x} = \tan \theta = \frac{4Z K b}{m 2\ell_0} \sqrt{R^2 - b^2}$$

--(11)

لـ α الأخراف تتحدد عن ممالي التساعدم b . القيمة المثلثة α
 $\tan \alpha = \alpha$. كذا $\frac{d\alpha}{db} = 0$ تكون متحدة

$$\frac{d\alpha}{db} = \frac{4ZK'}{m\varepsilon_0^2} \left[\sqrt{R^2 - b^2} - \frac{b^2}{\sqrt{R^2 - b^2}} \right] = 0 ,$$

$$\boxed{b(\alpha_{\max}) = \frac{R}{\sqrt{2}}} \quad , \quad \boxed{\alpha_{\max} = \frac{2ZK' R^2}{m \cdot \varepsilon_0^2}} \quad (12)$$

نستحضر تعريف ميل زاوية الأخراف $\bar{\alpha}$ من α
 $\therefore \bar{\alpha} = \alpha_{\max}$ (التساعدم $b \leq R$)

$$\begin{aligned} \bar{\alpha} &= \int_{b=0}^R \alpha \frac{2\pi b}{\pi R^2} db = \frac{8ZK'}{m\varepsilon_0^2 R^2} \int_{b=0}^R b \sqrt{R^2 - b^2} db \\ &= \frac{\pi}{2} \frac{ZK' R^2}{m\varepsilon_0^2} = \frac{\pi}{4} \alpha_{\max} = \frac{Zc^2}{8\varepsilon_0 R m\varepsilon_0^2} \end{aligned}$$

(13)

د. سید جلیل نام

امتحانات ٢٠١٣
مختبر زراعة

الفصل الثاني / الثالث عام فيزيماز
الفيزيماء الوربة

The Rutherford Atomic Model

مُحْمَّد جَمِيل رَدْرَغُور لِلذَّرَة

من الممكن (١) الذي يمهد لترتيب الـ α -particles
 التجربة تثبت ردرفلد ، حيث ثبتت جسيمات α
 من نوازل الرادون في الأنبوبة T حيث تم انتقام أكرون من
 ضيقة Δ كما في الشكل (١) ، حرمة وزارة تقريرياً من جسيمات
 النا (α -particles) يبرهن على ذلك. فاقطة من الزاسب F و جسيمات α المنشطة
 تدرج و مغات طولية خافية للعينة S يمكن ملاحظتها
 من الميكروскоп . العاشر (Screen microscope) / detector
 يمكن ان يوجه بجهاز المعاكس الساقط ، و صارى مع بالكتف من
 حيث ته العاشرة بزوايا مختلفة θ حيث مدى انتشار
 يبلغ $\pm 1/2 \Delta \theta$ حيث $\Delta \theta$ الموموح الراديي للعقار .

أظهرت التجارب بوضوح أن الجيّات تتألّف من أثراً كبيراً يزداد أثراً يزيد
تقدير $Q = 150$ (مقدار جيّة الأعدادات العالية) ونلاطف ابنة
تتألف حاد مع تجربة نو مسون (مقدار نو مسون).

و مما يبيّن توصل رذرفوردر إلى استنتاجات مماثلة
أكثراً في التجربة التي قام بها والتجربة هي الماذج السابعة
حيث توصل إلى ^{بيان التجربة} _{بيان التجربة} ^{بيان التجربة} :-

١. الذرة ملتمسها مراكب "Nucleus" (النواة) يدعى "النواة الذرية"
٢. كثافة الذرة تتناسب على حيز ضيق جداً يدعى كل النكثة المرببة او "النواة الذرية Atomic Nucleus"
٣. تنتشر النكثات المائية (الإلكترونات) في مسافات كبيرة حول النواة.
٤. حسب هذا النموذج (Rutherford Model) دفعت العا سون تارف كل ما يقترب من النواة بسببه كون الإلكترونات على المدارات الدوارة كثلتها أصغر بألف مرتبة مع دقائق العا ($m_e/m_\alpha \approx 1.67 \times 10^{-4}$)

دفته صدم، الفرطيات α احتلقت معادلة Rutherford α احتلقت معادلة

الثانية التي أعلنت نتائج ممتازة بالمقارنة مع النتائج العلمية.

د. نبيل جنان بهنام فتوحی
جامعة بغداد كلية العلوم للبنان
قسم الفيزياء

(2)

محاضرات دراسات جناب (ج) / أضياعات ذرية

"Nucleus"
"Atomic
Physics"

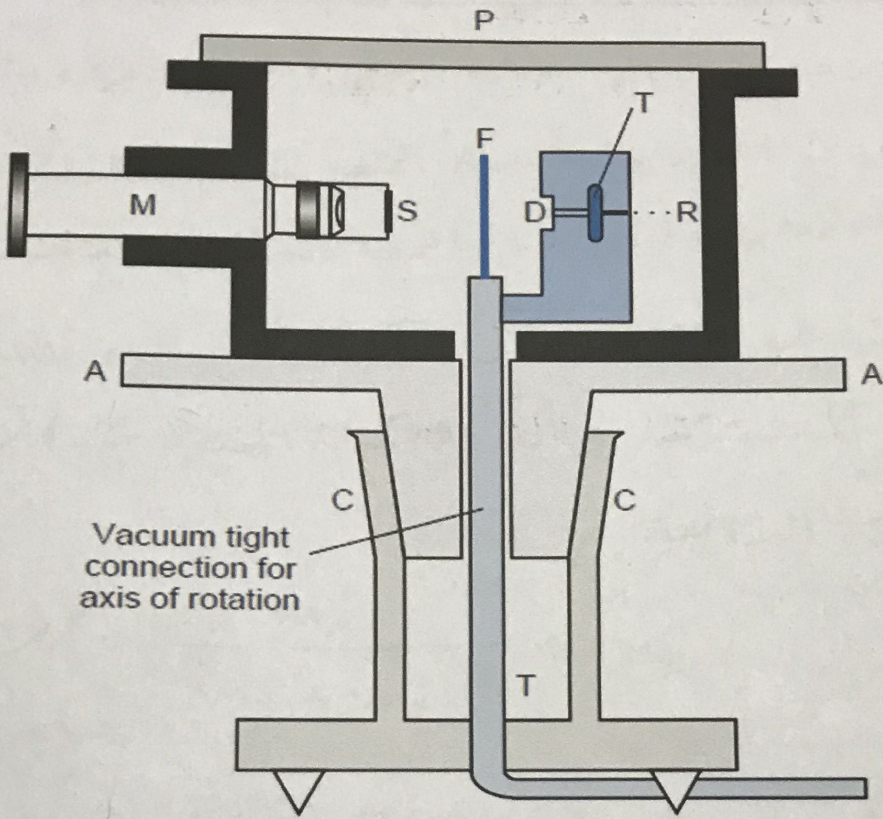


Fig. 1 Experimental setup for Rutherford's scattering experiment

الشكل (١) يوضح الأعدادات العملية لتجربة تشتت ذرمورو.

(3)

هادئه للتناثر لراديو فورر

Rutherford Scattering Formula

كما تكون بحثات الـ alpha هي موجة دوارة تدور وتحرف بمقابلها
فهذا يوصلنا لواحة الذرة Atomic Nucleus التي يمكن اعتبارها كشيء
بالشكل Point-Like particle . المعالجة النظرية للتناثر

يُنظر إلى أطراف مركز الكتلة "Center-of-Mass" وهي المتناثرة وأن الكتلة المختزلة M
بالعادات الناتجة :

$$M = \frac{m_x \cdot m_y}{m_x + m_y} \times m_x$$

الراجم الراداري L يعطى بالعلاقة :

$$L = |L|$$

$$= M r^2 \varphi = M r^2 b \quad \dots \quad (1)$$

من الصندوق (2) المُردبة F_y (Y-Axis) لقوس كولوم

، α -particles (هي انتقامرة من أخراج Coulomb force

$$F_y = M \left(\frac{d^2 y}{dt^2} \right) = \frac{q S \sin \varphi}{r^2} \quad \dots \quad (1.a)$$

نمير

د. نبيل جنان بهنام فتوحى

جامعة بغداد / كلية العلوم للبنان

قسم الفيزياء

$$d = \frac{qQ}{4\pi\epsilon_0}, \quad q = 2e, \quad Q = Ze$$

بتعميفه القبع اعلاه بالمعادلة السابقة نحصل

$$\frac{d^2y}{dt^2} = \frac{a \sin \varphi}{Mr^2} = \frac{a \sin \varphi}{L} \frac{d\varphi}{dt} \quad \dots \quad (2)$$

حيث a قاربة من نقطة بعيدة A كافي

اللحوظ (2) وتقرب بسلسلة بعد الاستئصال من
النقطة $B(x=+\infty)$. الزاوية φ تتغير خلال الاستئصال
للبصمات بزاوية تتساوى (استئصال) φ من $\varphi=0$ إلى

$$\varphi = \varphi_{\max} = \pi - \alpha$$

إذن هنا حل المعادلة (2) كالتالي

$$\int_0^{a \sin \alpha} dy = \frac{a}{Mr^2 b} \int_0^{\pi - \alpha} \sin \varphi d\varphi \quad \dots \quad (3)$$

بذلك نحن اطعادل = السابقة نحصل على

$$a \sin \alpha = \frac{a}{Mr^2 b} (1 + \cos \alpha) \quad \dots \quad (4)$$

$$(1 + \cos \alpha) / \sin \alpha = \cotan(\alpha/2),$$

و لأن

(4)

ملاقة بين زاوية الانحراف و ميال التصادم ط لليزم
و اقى محتوى تأثير العلاقة الخامسة

$$E_{pot} = \frac{q}{r}$$

$$\cot(\theta/2) = \frac{M v^2 b}{a} \quad \dots \dots (5)$$

نسبة (a/b) تمثل حمالة الخامسة كذاكمانة ($r=b$). وباعطها
محتوى المعادلة (5) نصل ،

$$\cot(\theta/2) = \frac{2 E_{kin}(r=-\infty)}{E_{pot}(r=b)} = \frac{4\pi \epsilon_0}{qQ} M v^2 b$$

حمالة المتنى لرutherford
Rutherford's Scattering
formula

\dots \dots (6)

زاوية الاستعارة θ على منفذ العلاقه θ لجهه حقول

يعمل بالعلاقة (المالية) ،

$$\frac{M v^2}{(a/b)} = \frac{2 E_{kin}(r=-\infty)}{\epsilon_{pot}(b)} \quad \text{من المعادلات (5+6)}$$

د. نبيل جنان بهنام فتوح
جامعة بغداد / كلية العلوم للبنات
قسم الفيزياء

$$\epsilon_{pot} = \frac{q}{r} \text{ when } r=b$$

$$= \frac{q}{b}$$

و صريحاً يبي خصي العلاقه المترتبه اكي العلاقه - الخامسة -
(علاقه الواقع) كذاها ($b=r$) .

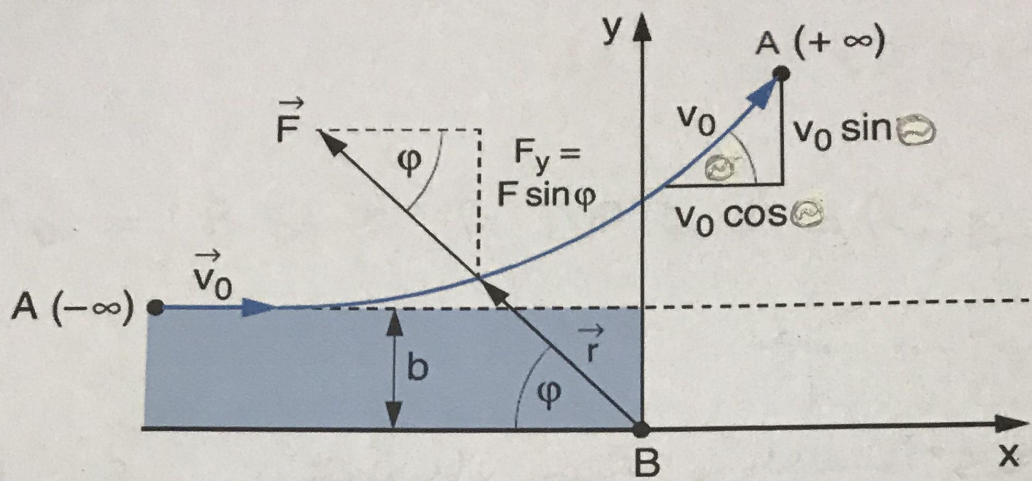


Fig. 2. Scattering in a Coulomb potential

الشكل (2) يوضح التشتت جسيماتها بمعامل تقادم (b) ويسهل ايفاً استطلاع المكون.

(6)

Rutherford's scattering formula

صيغة رد رutherford للثني

يجاد المقطع العرضي للتفاعل في الثني $\Delta\Omega$ ، حيث ايجاد نسبة جسيمات α المتعاقبة وثنيتة عن مركز رادي R $\Delta\Omega = \frac{1}{2} \Delta\theta + \theta$ والعاملات للعداد ببساطة (راجع شرح (3))

$$\Delta A_D = (R \sin \theta) R \Delta\theta \Delta\phi = R^2 \Delta\Omega$$

يمكن ولنذهب لبيانه مبين

البيان في المقطع العرضي للتفاعل

المقطع العرضي للتفاعل يمكنه بالشكل

$$\frac{d\sigma}{d\Omega} = b \frac{db}{d\theta} \frac{1}{\sin \theta} \quad \dots \dots \quad (8)$$

Total Cross Section $\approx 10^6 \text{ cm}^2$ ، Ω : الزاوية الصلبة
 (المقطع العرضي المعاكس)
 SOLID Angle

نستبدل المعادلة (5) للمتغيرين $d\theta$ و db وبأخذ المطلوب

$$|\frac{db}{d\theta}|$$

$$\frac{db}{d\theta} = -\frac{1}{2} \cdot \frac{a}{M^2 \theta^2} \cdot \frac{1}{\sin^2(\frac{\theta}{2})} = -\frac{1}{2} \frac{qQ}{\pi \epsilon_0 M^2 \theta^2} \cdot \frac{1}{\sin^2(\frac{\theta}{2})}$$

$$\boxed{\frac{db}{d\theta} = \frac{1}{2} \frac{qQ}{\pi \epsilon_0 M^2 \theta^2} \frac{1}{\sin^2(\frac{\theta}{2})}} \quad \dots \dots \quad (9)$$

من اهم ادلة (٨) دلائل العلاقة ،

$$\sin \theta = 2 \sin(\theta/2) \cos(\theta/2) \quad \dots \quad (10)$$

الصيغة المثلثية لـ $\sin \theta$

و من المعاذر = (٦) نجز ٦ ،

$$b = \cot\left(\frac{\alpha}{2}\right) \frac{qr}{u \pi c} = \frac{\cos\left(\frac{\alpha}{2}\right)}{\sin\left(\frac{\alpha}{2}\right)} \frac{qr}{u \pi c}$$

د. نبيل جنان بهنام فنوجي
جامعة بغداد / كلية العلوم للبنات
قسم الفيزياء

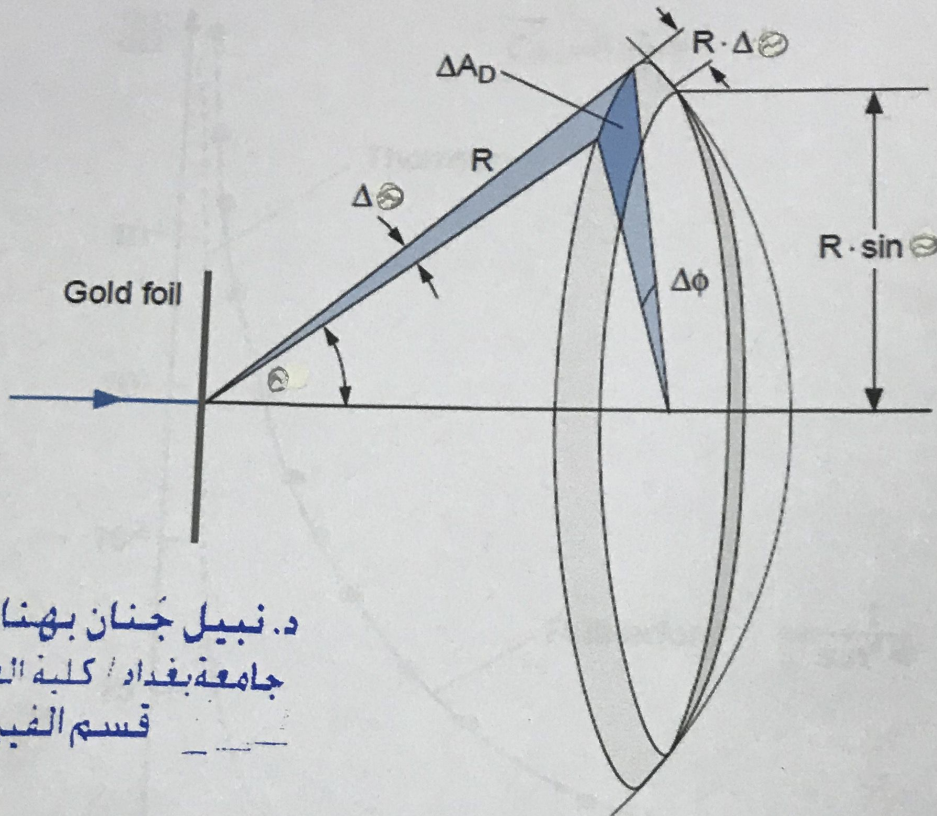
المعايير الالكترونية (١١، ١٠، ٩) كمثلاً (٨) كمثلاً

$$\frac{d\omega}{ds} = \frac{1}{4} \left(\frac{qQ}{M^2 E_0 M^{2g^2}} \right)^2 \frac{1}{\sin^m(\theta/2)}$$

* المتبع العرم التفاضلي من وصيحة تقرير روزرور

وبدل حفظ صنف الحكم (٦١) توافق ممتاز للمنتج السليمة لـ Rutherford مع النتائج العلمية وأمثلته بالاتفاق (—) على حساب $\frac{d\lambda}{dr}$ فابعدوا حتى يعود Dr Thomson بشكل واضح، حيث أن التوزيعات في قربان ساهمها $\frac{d\lambda}{dr}$ في الزوايا المغيرة جداً ويتبعوان على الزوايا الكبيرة و بعد هذا المقام لرutherford واقتراب نتائجه العلمية المشتملة بالشكل المأمور بالتفصيل العلمي (٠).

(7)



د. نبيل جنان بنهان فتوحى
جامعة بغداد / كلية العلوم للبناد
قسم الفيزياء

Fig. 3. Definition of solid angle $\Delta\Omega$ and detector area
 $\Delta A_D = R^2 \Delta\Omega = R^2 \sin\Theta \Delta\Theta \Delta\varphi$

الشكل (3) تَعْرِيف الزاوية المثلثية $\Delta\Omega$ ومساحة العدّار

$$\Delta A_D = R^2 \Delta\Omega = R^2 \sin\Theta \Delta\Theta \Delta\varphi$$

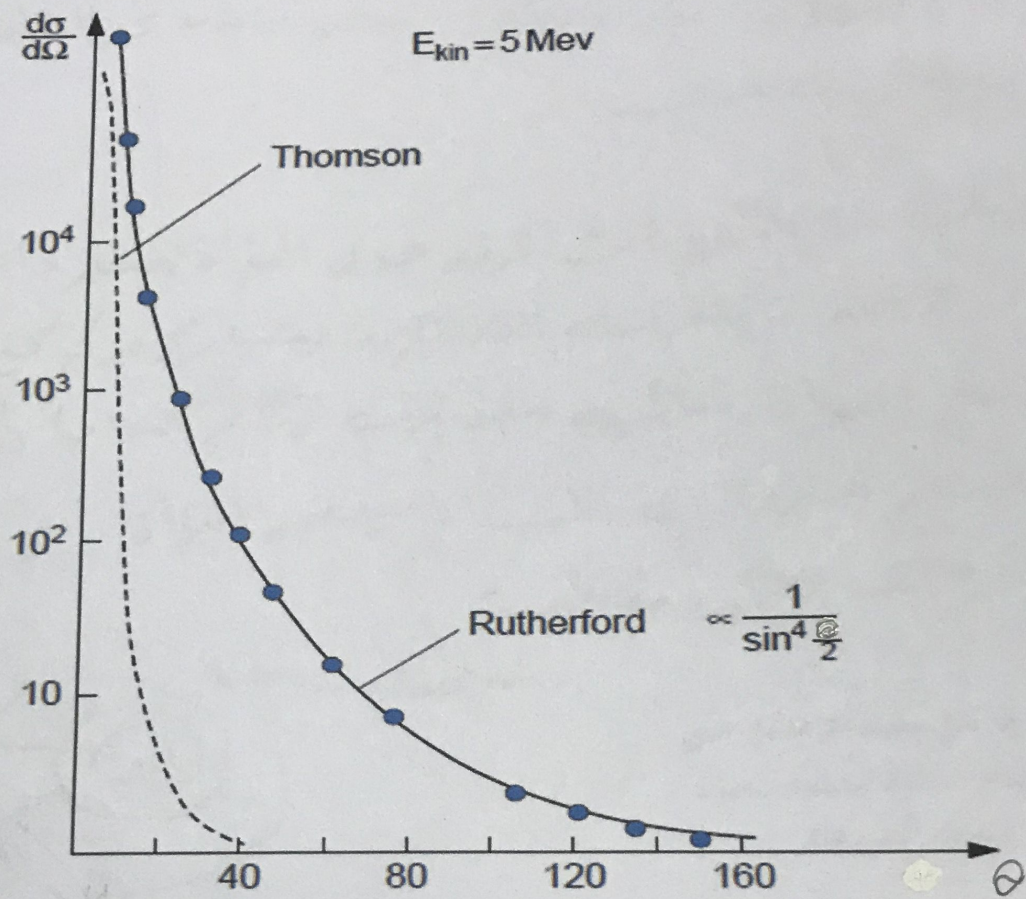


Fig. 14. Comparison of experimental results (points) with the predictions by Thomson (dashed curve) and Rutherford (solid curve)

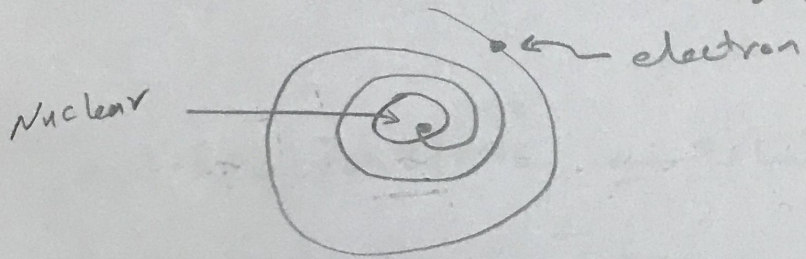
الشكل (٤) مقارنة بين النتائج الفعلية (النقطة ●) مع نموذج توم森 (الماء ---) و نتائج رutherford المنشورة بالشكل المعدل (—)، حيث يظهر حفلاً تطابق نتائج رutherford مع الجاذبية الفعلية.

(9)

الغاية ليست متداولة صياغة كثيرة -

حسب لظرفية رذرفلور فـأن الالكترون السالب يتجه نحو التواقة الموجبة
وينتهي بها لكي تتعادل

2- اذا كانت الاشكالات تدور حول النواة بسوار دائري سوف تتشاءم قوّة مردّسية و يتحرّك الاشكال بقارب مردّس (تعجيل مردّسي) ويكون مع النواة تناكيه متذبذب يتم امتصاصه لغرض تناهيه ويندر بعده حلزوني اى ان يصل النواة اى ان لا يتحقق مع النواة الحركة متناهية.



د. نبيل جنان بنهان فتوحى
جامعة بغداد / كلية العلوم للبنات
قسم التربية

٣- لم يغير الطبع العتيقية للطيف الخطي .
ـ أنه الاكترونيات تدور حول النواة يكونان معاً موزعين (٢+النواة)
وإذ نتبع اللدنة طيف مستمر من الارتفاعات الاصغر فنلحظ مسيرة
التزدد والتنازل المتعاقب وتتلاقي كل قطتها تدريجياً وصداً يلتف
النتائج التجريبية التي انتهت أن الدارة تتبع طيف الخطي
وله قول موبي سدر بدقة .

(١٥)

مِيَاهَتْ حَامِلَة

١ - عد المولما درو $N_A = 6.022 \times 10^{23} \text{ mol}^{-1}$ يعنى عدد الذرات او الجزيئات في واحد مول mol من المادة.

٢ - الراة المتساوية تتألف من الكترونات ذرية (عدد ذ = عد e) و تتألف الالكترونات كتلتها تجنبه بوحدة الكيلو ذرية

$$m_e = \frac{1}{1836} \text{ AMU} , 1 \text{ AMU} = 1.6605388 \times 10^{-27} \text{ kg}$$

$$= 9.10938215 \times 10^{-31} \text{ kg}$$

د. نبيل جنان بهنام فتوحي
جامعة بغداد / كلية العلوم للبنات
قسم الفيزياء

- ٣ - تأكيد كتلة الالكترون $e = 1.602176187 \times 10^{-19} \text{ C}$

+ Z_e و كتلتها AMU متساوية

٤ - الذرات المتساوية يمكن ان تتأثر بغير تأثير الكثافة المتساوية
فهي تؤدي بكتلتها المتساوية مع الايونات الثقيلة السريعة
Fast Heavy Ions أو بواسطة تبادل كتلتها charge exchange في
التعارض مع الذرات الارکان . الذرات سوف تخسر
(٧) من الالكترونات نتيجة التصادم والتأثير . وتدعى هذه الايونات

٤ - Field Ionized

بعض الـ
الـ
ـ

3. ionization

٦ - الأيونات السالبة تكون من اتمادن الايجار
الايكرونات الحرة مع الازارات المتشابهة
فان كل من الايكرونات يمكنه بكل سهولة ان تتأثر الازارات
حتى تتسلق اعلى فترتها بالعدد الفاصل من الايكرونات وتنبع كذا
متساوية صورة اخرى .

٥ - الجسيمات الممحوقة - تذرف وتتأثر ب المجال الكهربائي او
المجال المغناطيسي .

٦ - نسبة التسخنة الكهربائية الايكرون (او الايون) $\left(\frac{e}{m}\right)$ يمكن حسابها
منها ، النسبة $\frac{e}{m}$ لا تتأثر على ادوات تقدير مقدار ^{أمثلة} التسخنة
الممحوقة داخل المجال الكهربائي او المغناطيسي .

٧ - التسخنة الكهربائية $(q=e)$ حسب بولتزانو ^{العام} ميلikan
و يسمى بـ ^{اسم} قدرات من الزرقة .

١٢٥

(١٣) / الفيزياء الذرية (الثالثى) / د. نبيل جلاب (٢)

Bohr theory of Hydrogen Atom

نظريّة بور لذرة الهيدروجين

بيانها ملخصاً بسيطاً

بيانها ملخصاً

في عام ١٩١٣ اقترح Bohr نموذجاً بسيطًا لذرة الهيدروجين من أجل تطبيق الاستدلالات الكلاسيكية لقوس الألكترونات على النواة وأستمر الألكترون على النواة افترض بور أن نظرية الاستدلال العلاجية لا تصح في الأنظمة الذرية فقام بور بتطبيقه أفكار ماكس بلانك Max Planck لمستوى اللائحة المسمى بـ الألكترونات الذرية.

الأفكار الأساسية لنظرية بور هي كالتالي :-

- 1 - يتبع الألكترون مدار دائري ثابت المسار حول النواة (بروتون) حيث تأثير قوة التجاذب الكهربائية (حيث حرکة الألكترون متحركة بقوانين نيوتن) تكون صفر، أحركة بدافع قدر ثابت وطاقتها مدار ثابتة حيث إذا زادت قوة الجذب طروراً وتقليل التجاذب أحوال بور النواة والألكترون ينبع وللقوة المركبة ينبع انتقال حرارة لبتار الألكترون بامداد الدائري.

- 2 - حجم محدود مدار الألكترون المسمى بـ مدار يغزو كل كمية الحركة الراوية المدارية للألكترون مدار المدارات المسمى هي تلك التي تكون فيها كمية الحركة الراوية المدارية للألكترون حول النواة متساوية

و تامى مطاعفات كردية صحيحة اك $\frac{h}{\pi^2}$:

$$L = m \omega r = nh \quad --- \quad (1)$$

رغمجم

$n = 1, 2, 3 \quad ---$

د. نبيل جنان بهنام فنوجي
جامعة بقداد / كلية العلوم للبنات
قسم الفيزياء

٣ - تكون فقط مدارات الكروية ملائمة لمستقرة عند ما لا يبعث في
احد صور الحالات الستة (كما اسماها بور) حقيقة سهولة الحفاظ
على العلاقة الكلية للذرة تبعي ثابتة ديمكى استعمال المهمات
العلاسيكى مني رسمت حرفة الا لكترون في

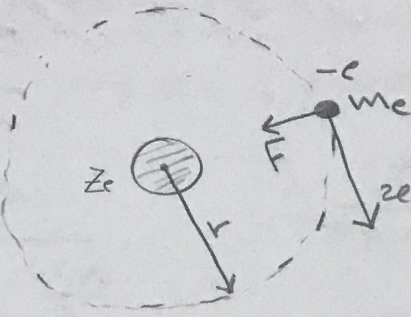
٤ - يصعب الامتناع بواسطه الذرة حتى ما تغير الا لكترون
من مدار ابتدائى هي طاقوي الى مدار حقيقة او طاره ولا يمكنه ارادة
او معايير صناعية الا لائق وخصوصاً ان تردد الغزون المتبعة
مني الآلة قابل يرتبلا بالتفصيلى حقيقة الذرة ولا يعتمد سر تردد حرفة
الاكترون المدارية .

ويتم ايجاد تردد الاستعاضة المتبعة من علاقتها - حطفا اللاتيه -

$$E_F - E_i = hV \quad --- \quad (2)$$

اذن اى حقيقة الحالات الابراتية و كم هي حقيقة الحالات
النهائية وان $E_F > E_i$ يمكنها معاشر حقيقة الغزون السافل
امثلة الذرة اذا مثلك الغزون حقيقة تستحق تمام اربع
حقيقه بين حالاته مساعدة للذرة وحالاتها المترافقه وبعد
استعاضة ينتهي الغزون وتقدم الذرة بالائق اى حالة
حقيقة الحالات .

(12)

 r_0 : radius ze_0 : velocity of electron

Fig(1) Hydrogen Atom

جامعة بنى سويف كلية العلوم فنيون
قسم الفيزياء

$$F_{\text{col}} = K_e \frac{q_1 q_2}{r^2} = K \frac{Ze \cdot e}{r^2}$$

$$K = \frac{1}{e^2 4\pi \epsilon_0}$$

--- (3)

from eq (1)

$$L = mae_r = n\hbar$$

$$ze = \frac{n\hbar}{mr} \quad \text{and} \quad ze^2 = \frac{n^2 \hbar^2}{m^2 r^2} \quad \text{--- (4)}$$

$$\rightarrow \text{force of attraction} \rightarrow F_C = \frac{m ze^2}{r^2} \quad \text{--- (5)}$$

$$\begin{cases} F = ma \\ a = ze^2/r \end{cases}$$

eq 4 in 5

$$F_C = \frac{m}{r} \frac{n^2 \hbar^2}{m^2 r^2}$$

$$= \frac{n^2 \hbar^2}{m r^3} \quad \text{--- (6)}$$

يُلاحظ أن النتيجة متسقة مع نتائج المنهج العلمي
ذلك يدل على صحة المنهج

١٣) تساوى القوة المترية f_c مع قوة كولوم في المدار

$$f_{COL} = f_c$$

(7)

$$\frac{K_e Z e^2}{r^2} = \frac{m t_h^2}{m r^3}$$

$$r_n = \frac{n^2 t_h^2}{m K_e Z e^2} \quad (8)$$

$$r_n = n^2 r_0 / Z \quad (9)$$

نلاحظ هنا $n=1$ للدار الاول و $Z=1$ للهيدروجين فهو ملائمة

$$m_e = 9.1038 \times 10^{-31} \text{ kg}, K_e = 8.98755 \times 10^9 \text{ N.m}^2 \text{ C}^{-2}$$

$$e = 1.602176 \times 10^{-19} \text{ col}, t_h = 1.05457 \times 10^{-34} \text{ J.s}$$

٢٤) نصف قطر بور (المسافة من اللوحة الى المدار)

$$r_0 = 5.291772 \times 10^{-11} \text{ m}$$

$$= 0.5291 \text{ Å}$$

$$\boxed{Z=1} \text{ For H-Atom}$$

٢٥) يمكننا ايجاد ابقيه انتهاي الافوار لبرقية المدارات بدلالة r_0 من مدار

$$r_n = n^2 r_0 / Z = n^2 0.529 \text{ Å}$$

$$\boxed{r_n = n^2 0.529 \text{ Å}} \quad (10)$$

$$n = 1, 2, 3, \dots$$

(13)

سرعه بور / المدار من معادله (4)

$$2\ell_n = \frac{nT}{m\gamma_0} \quad , \quad \gamma_0 = 5.291772 \times 10^{-11} \text{ m}$$

$$\begin{aligned} &= \frac{nT}{m \frac{n^2 \gamma_0}{Z}} \\ &= \frac{Z}{n} \frac{T}{m \gamma_0} \quad \text{but } 2\ell_0 = \frac{T}{m \gamma_0} = \\ &= \frac{Z_0}{n} \ell_0 \end{aligned}$$

$$2\ell_n = \frac{Z_0}{n} \ell_0 \quad (n=1, 2, \dots) \quad \dots \quad (11)$$

$$\ell_0 = \frac{1.0545 \times 10^{-34}}{9.1 \times 10^{-31} + 5.2917 \times 10^{-11}}$$

$$2\ell_0 = 2.09769 \times 10^6 \text{ m/s}$$

لأجل العلاقة الكلية E_T نحتاج إلى الطاقة الحرارية E_{kin} والطاقة الكINETIC

$$E_{kin} = \frac{1}{2} m v^2 \quad \dots \quad (12)$$

نحتاج إلى v^2

$\therefore F_C = F_{col}$

موجة مخربة

$$\frac{mv^2}{E_T} = \frac{K_e Z e^2}{r k} \Rightarrow v^2 = \frac{K_e Z e^2}{m r} \quad \dots \quad (13)$$

(12) \rightarrow (13)

الآن يمكننا العودة إلى المعادلة

دلالة الحسنة

$$E_{kin} = \frac{1}{2} \frac{K_e Z e^2}{r} \quad \text{--- (14)}$$

$$E_p = \text{مقدار الطاقة}$$

$$E_p = \frac{K_e Z e^2}{r} \quad \text{--- (15)}$$

$$E_T = E_{kin} + E_p$$

$$= \frac{1}{2} \frac{K_e Z e^2}{r} - \frac{K_e Z e^2}{r}$$

$$\boxed{E_T = -\frac{1}{2} \frac{K_e Z e^2}{r}} \quad \text{--- (16)}$$

نحو ٨ جواد $E_n \rightarrow E_T$ من (16) \rightarrow

$$E_n = -\frac{1}{2} K_e Z e^2 \frac{m K_e Z e^2}{n^2 h^2}$$

$$= -\frac{1}{2} \frac{m K_e^2 e^4}{h^2} \cdot \frac{Z^2}{n^2} \quad \text{--- (16.2)}$$

$$E_n = -2.176 \times 10^{-18} \text{ J} \left(\frac{Z^2}{n^2} \right)$$

or

$$= -13.6 \text{ eV} \left(\frac{Z^2}{n^2} \right)$$

E_n : المقدار المداري لاي مدار

د. نبيل جنان بـ هـ نام فـ تو حـ

جامعة بغداد / كلية العلوم للبنـ

قسم الفيزياء

دليـلـاً عـسـتـهـ دـلـيـلـاً بـلـفـلـهـ دـلـيـلـهـ

(٢١)

مقدمة العلامة = الجدول ٥

$$1 \text{ eV} = 1.60217653 \times 10^{-19} \text{ J}$$

جامعة بغداد / كلية العلوم للبنات
قسم الفيزياء
دنبيل جنان بهنام فتوح

معنون تابعها بالستل (١٦.٩) من مقدمة

$$E_n = -\frac{1}{2} \frac{m K_e^2 e^n}{\pi^2} \cdot \frac{hc}{hc} \frac{Z^2}{n^2}$$

$$= -\frac{m K_e^2 e^n}{4\pi c \hbar^3} \cdot hc \frac{Z^2}{n^2}$$

$$\tau_1 = \frac{\hbar}{2\pi}$$

$$E = h\nu = \frac{hc}{\lambda}$$

$$E_n = -R h c \frac{Z^2}{n^2} \quad (18)$$

Rydberg const رايمبرج كونستانت : R

$$R = \frac{m K_e^2 e^4}{4\pi c \hbar^3} = 1.097 \times 10^7 \text{ m}^{-1} = 1.097 \times 10^{-3} \text{ Å}^{-1}$$

$$\therefore E = h\nu = h \frac{c}{\lambda} \quad (19)$$

تحلية (١٨) \rightarrow (١٩)

$$\frac{E_n}{\lambda} = R \frac{Z^2}{n^2} \text{ (cm}^{-1}\text{)} \quad (20)$$

الحلقة
الحادية عشر

$$\frac{1}{\lambda} = RZ^2 \left(\frac{1}{n_f^2} - \frac{1}{n_i^2} \right) \quad \text{--- (21)}$$

حيث $Z=1$ لذرة الهروجين
المدار الذي يقفز منه الالكترون اى المدار النهائي n_f .

حيث λ الطول الموجي و $\frac{1}{\lambda}$ العد الموجي

حيث n_f حدة سلسلة صغيرة في ذرة الهروجين بالاستهان
ـ المعاكس (2)

➀ سلسلة لريمان (Lyman Series 1906)
المدالة فوق البنفسجية (Ultraviolet) تقع هذه السلسلة في

$$n_f = 1, n_i = 2, 3, 4, \dots$$

➁ سلسلة بالمر (Balmer Series 1885) وتقع هذه السلسلة

المفروض عليه ($H_\alpha, H_\beta, H_\gamma, H_\delta$) وهي تقع في المدالة المرئية

$$n_f = 2, n_i = 3, 4, 5, \dots$$

➂ سلسلة باش (Pashen Series 1908) وتقع امواجاً اطوالها في
المدالة حتى الحمراء (Infrared)

$$n_f = 3, n_i = 4, 5, 6, \dots$$

د. نبيل جنان بهنام فتوحى
جامعة بغداد كلية العلوم للبنان
قسم الفيزياء

(15)

حلقة براكت Braket Series (1922) وجدت اين الاصل من
سلسلة الاصل المربعة لذا نستنتج ان المدار المتواز

$$n_F = 11, \quad n_i = 5, 6, 7, \dots$$

حلقة بو فندر P Fund Series (5) : تقع هذه السلسلة الاصلية تحت المدار
البعيرية far infrared

$$n_F = 5, \quad n_i = 6, 7, 8, \dots$$

د. نبيل جنان بهنام فتوحى
جامعة بغداد / كلية العلوم للبنات
قسم الفيزياء

بيان حسب العلاقة بين الملايين بـ مilli الملايين بـ مilli حسب حصة بحد ذاتها
المعادلة (21) بالشكل

$$\Delta E = \hbar \omega = E_i - E_F = R \hbar c Z^2 \left[\frac{1}{n_F^2} - \frac{1}{n_i^2} \right] \quad (22)$$

$$= -13.6 Z^2 \left[\frac{1}{n_F^2} - \frac{1}{n_i^2} \right] \text{ eV}$$

n_F, n_i : رقم المدار الابتدائي والنهائي

ملاحظة : من الممكن ان يكون سلسلة الملايين في ملايين
الbillions معددا سلسلة لا يمكن منع (انهات وانهاس) ملائمة

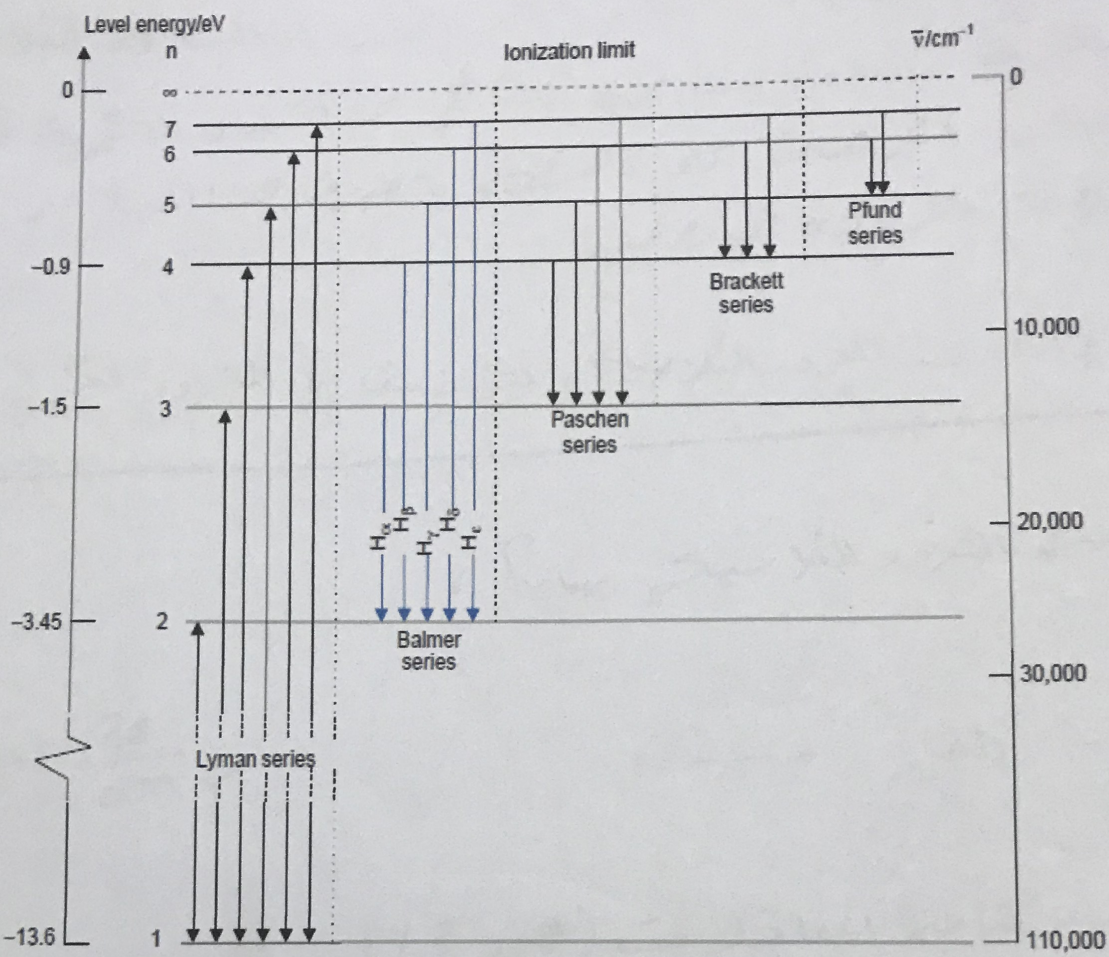


Fig. 2 Simplified level scheme of the hydrogen atom and the different absorption or emission series

مخطوطة لـ دة السورجيس

د. نبيل جنان بهنام فتوحى
جامعة بغداد / كلية العلوم للبنات
قسم الفيزياء

الثالث فنزيل يارى م
سارة الزمرى
د. نبيل جنان بنهان

(7)

Bohr's correspondence principle
مبدأ التقابل لبور

في العام 1923، بور أثبت أن المفهوم الكلاسيكي
والميكانيكي تتطابق ملائمة في النسب المئوية كعند الأعداد الكبيرة العالية.
ويمكن البرهنة على ذلك بتبسيط صياغة المبدأ عن ذرعة
بسهلة مثل ذرة السراجين.

أولاً: اثبات التردد الكلاسيكي يمكن من قراراً للتردد الكمي
ولذلك

صادر عن التردد الكلاسيكي، f_{class}

$$f_{\text{class}} = \frac{2\pi}{2\pi r} \quad \dots \quad (23)$$

نحو كتابة المعادلات (13، 8)

$$\omega = \frac{n^2 h^2}{m K e Z e^2} \quad \dots \quad (8), \quad \omega = \sqrt{\frac{K e Z e^2}{mr}} \quad \dots \quad 13$$

نحو كتابة المعادلة (23) هي

$$f_{\text{class}} = \frac{\sqrt{\frac{K e Z e^2}{mr}}}{2\pi \frac{n^2 h^2}{m K e Z e^2}} = \frac{\sqrt{\frac{K e Z e^2}{mr} \times \frac{m K e Z e^2}{n^2 h^2}}}{2\pi \frac{n^2 h^2}{m K e Z e^2}}$$

د. نبيل جنان بنهان فتوحى
جامعة بغداد / كلية العلوم للبنان
قسم الفيزياء

$$f_{\text{class}} = \sqrt{\frac{k_e z^2 e^4}{w^2 t_h}}$$

$$\frac{2\pi \frac{w^2 t_h}{m k_e z e^2}}{= \frac{k_e z e^2}{w t_h} + \frac{m k_e z e^2}{2\pi w^2 t_h^2}}$$

$$= \frac{m k_e^2 e^4}{2\pi t_h^3} \cdot \frac{z^2}{z^2} \cdot \frac{w^2}{w^3}$$

$$= \frac{m k_e^2 e^4}{w \pi c t_h^3} \quad \text{--- } R$$

د. نبيل جنان بهنام فتوحى
جامعة بغداد / كلية العلوم للبنان
قسم الفيزياء

$$f_{\text{class}} = 2 R C \frac{z^2}{w^3}$$

--- (2n)

و لحساب التردد الزايد للطلاسيك

$$\omega = 2\pi f$$

$$\omega_{\text{class}} = 4\pi R C \frac{z^2}{w^3}$$

--- (2s)

مهمة ملحوظة لكتاب مبابا
عمر العبدالله العساف

لجد الأذن لحساب التردد الراداري الكمي من المعادلة التالية:

$$\omega = 2\pi c \left[\frac{1}{L} \right] \quad \dots \quad (26)$$

نعتبر كتابة معادلة (21)

$$\frac{1}{L} = R C^2 \left[\frac{1}{n_f} - \frac{1}{n_i} \right] \quad \dots \quad (21)$$

نعرض من المعادلة السابقة صيغة $\left(\frac{1}{L} \right)$ بمعادلة (26)

$$\omega_{q.m} = 2\pi R C^2 \left[\frac{1}{n_f} - \frac{1}{n_i} \right] \quad \dots \quad (27)$$

لذلك مبدأ التقابل لبرinciple أنا نجحنا في المعادلة

(27) للتردد الراداري الكمي $\omega_{q.m}$ متساوية للتردد الرادي

الكلاسيكي ω_{class} من معادلة (25) ولكي نخت

ذلك نقرمان الآلترين يتفق من (27) و (25)

حيث

$$n_f = n_i + p \quad \text{و} \quad n = n_f = n_i$$

رقم (27) سهل على الآتي

د. نبيل جنان بهنام فنوجي

جامعة بغداد / كلية العلوم للبنات

قسم الفيزياء

$$\begin{aligned}
 \omega_{Q,m} &= 2\pi R_C Z^2 \left[\frac{1}{n^2} - \frac{1}{(n+p)^2} \right] \\
 &= 2\pi R_C Z^2 \left[\frac{(n+p)^2 - n^2}{n^2(n+p)^2} \right] \\
 &= 2\pi R_C Z^2 \left[\frac{(2n+p)p}{n^2(n+p)^2} \right] \quad \dots (28)
 \end{aligned}$$

بتقريبه الا' قوايس المعادلة (28) حيث ($n \gg p$) لذا نكتب

$$\begin{cases} (2n+p) \approx 2n \\ (n+p)^2 \approx n^2 + 2n \end{cases} \quad \dots (29)$$

من هنا نكتب (29) في (28)

$$\begin{aligned}
 \omega_{Q,m} &= 2\pi R_C Z^2 \left[\frac{2n}{n^2(n+1)} \right] p \\
 \boxed{\omega_{Q,m} = 4\pi R_C \frac{Z^2}{n^3} p} \quad \dots (30)
 \end{aligned}$$

حيث $p=1$ في الماء

$$\omega_{Q,m} = 4\pi R_C \frac{Z^2}{n^3} = \omega_{class}$$

$$\therefore \boxed{\omega_{Q,m} = \omega_{class}}$$

مثال الثاني / البرهار الرابع / نظرية بور / د. نبيل جنان (19)

لأننا نعلم أن ثوابت بيد المقابل تغير لذة السرور حين
أن سرور الحم ونهايته تقترب من نهاية المحرق حيث
يمكننا ببساطة العبر إلى "جبر" بـ

مثلاً الزخم الظاري

$$L = \sqrt{l(l+1)} \ h \quad (\text{in quantum}) \quad \dots \quad (31)$$

$$L = n \hbar \quad (\text{classically}) \quad \dots \quad (32)$$

لأن ثوابت دخلت في المعادلة (31) لذلك الجبر رسم يمكن أن

يحله l وصفر $l = n - 1$ ونحو ذلك باعتدال (31)

$$L = \sqrt{(n-1)(n-1+1)} \ h$$

$$= \sqrt{n(n-1)} \ h = \sqrt{(n^2-n)} \ h^2$$

$$= \sqrt{n^2 h^2 - nh^2}$$

$$\therefore n^2 \gg nh^2$$

$$nh^2 \approx 0$$

$$= \sqrt{n^2 h^2}$$

$$= nh = \text{equation (32)}$$

i.e. $\text{eqn(31)} = \text{eqn(32)}$ when in high n state

الفيزياء والفيزياء
د. نبيل جنان
الثالثة ثانوي

(٢٥)

Elliptic Orbits for Hydrogen

المدارات الأصلجية لذرةydrogen

نظريّة بور تحدّت عدّاً بـ ١٩٣٨ أنّ الإلكترون يدور بـ مدارات دائرية
حيث تم توضيّع النظريّة بوالطب العام ١٩١٤ Sommerfeld اك توسيع
النظريّة لتشمل المدارات الأصلجية Elliptic Orbits ولتحقيق ذلك
تم تعميم بور فـ مركبة بور الأولى المدارات المصححة بالشكل التالي:

$$\oint p_i dq_i = nh \quad \dots \quad (33)$$

q_i : حواضن يتعلّق بهinkel دورى
د. نبيل جنان بهنام فتوحى
جامعة بغداد / كلية العلوم للبنات
قسم الفيزياء

P_i : الزخم q_i , p_i : كسر زخم

\oint يعني إن التكامل يجري على مسار مختلف من المركبة.

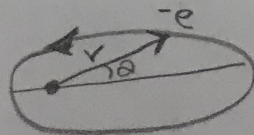
A) في حالة المدار الدائري

حالات أحداثي واحد فقط يتغيّر بهinkel دورى مع تغيّر الزاوية ϕ
حيث أنّ نصف القطر ينبع زاوية مقدارها ϕ مع صور X حيث أن
نصف القطر \neq ثابت المقدار متغير الاتجاه.



B) في حالة المركبة الأصلجية

في هذه الحالات الزاوية تتغيّر ϕ و طول مسافه لذرة القطر
يتغيّر دورياً.



اينما يتم تحديد المدارات الأصلية بشرطين كميين

$$\oint p_\phi d\phi = n_\phi h \quad \dots \quad (34)$$

الشرط الأولي

$$\oint p_r dr = n_r h \quad \dots \quad (35)$$

الشرط الثاني

n و ℓ : العدد الكمي الأولي Angular Quantum number

العدد الكمي السمتى Azimuthal " "

العدد الكمي القراء Radial " "

يسمى بالكتل الكمي أو الرئيسي

العدد الكمي الرئيسي Principal Q.N

$$n = n_\phi + n_r \quad \dots \quad (36)$$

نحو (15) لعلاقة الآخرين (لنسبة)

$$E = -\frac{K_e Z e^2}{2r} \quad \dots \quad (37)$$

المدار البيضاوي (الإليجي ellipse) الذي يحد المدار رسمياً

Semimajor axis الرئيسي

$$E = -\frac{K_e Z e^2}{2a} \quad \dots \quad (38)$$

(21)

من المعادلة (9) (رابعى نظرية بور) خان طول المدار فيه الرئيسي a

$$a = n^2 \frac{r_0}{Z} , \text{ where } r_0 \text{ Bohr radius} \quad (31)$$

والمدار الأفقي يعطى بالطريق $b = a \frac{n\phi}{n}$ $b = a \frac{\sqrt{n}}{n}$ $\therefore \therefore \therefore$ (40)

$$b = a \frac{n\phi}{n} \quad b = a \frac{\sqrt{n}}{n} \quad \therefore \therefore \therefore \quad (40)$$

عندما $n=1$ نصف قطر بور

$$r_0 = \frac{\hbar^2}{4\pi^2 m k_e e^2} = 0.529 \times 10^{-10} \text{ m} = 0.529 \text{ Å}$$

من المعادلات (10, 31) نستنتج الآتي:

$$\begin{aligned} a & \propto n^2 \\ b & \propto n^{\frac{1}{2}} \end{aligned}$$

- إذا تساوى $n=n_\phi$ (يصبح المدار دائريًّا) \therefore نصف قطر

من التكاليف (3) للدار، لذا فالرقمين $n=1$ في الافتراضات

المعادلة (36) يجب أن يكون مجموع $n_\phi + n_r = 1$ و n_ϕ يساوي واحد ($n=n_\phi+n_r=1$)

أي أن كل منها يجب أن يكون أكبر من صفر كذا

و كذلك $n_r=1$ ، $n_\phi=0$ ، من أساسيات هذه الميكانيكا المختلطة لتركيب الدار

نقرر أن تكون n_ϕ لا تساوي صفر.

لذلك يعني الفطع الساقط (الاصطدامي ellipse) سوف يحيط بالثقب الأسود
بشكل مسديمي والالكترون سوف يتم صرته خلال المواجهة لكنه يدور
حيثما يغير عدم المكانية اذا يكون $n\neq 1$ يساوي صفر.

حيثما يكون دائرياً

$n = n_r + n_\phi$

$1 = 0 + 1$

أقل قيم $n = 1$ وآخر $n = \infty$

• first Bohr orbit

$$n = n_r + n_\phi$$

$$1 = 0 + 1$$

($n=2$) كذا ②

حيثما يكون $n=2$ ، n يساوي اما (2) او (1) وحيثما يعني احتمالاً
 $n=2$ اما يكون المدار دائري $n=2$ كذا

سيكون $n_\phi=1, n=2$

$$n = n_r + n_\phi$$

$$2 = 0 + 2 \quad (\text{elliptical orbit})$$

($n=3$) كذا ③

يمكن للمرء طلبات واختيارات وانه يمكنه

$$n = n_r + n_\phi$$

$$3 = 0 + 3 \quad (\text{circular orbit})$$

$$= 1 + 2 \quad (\text{elliptical orbit})$$

$$= 2 + 1 \quad (\text{elliptical orbit})$$

• $(n=3), (n=2), (n=1)$ كذا \rightarrow (3) يعني الشكل

(22)

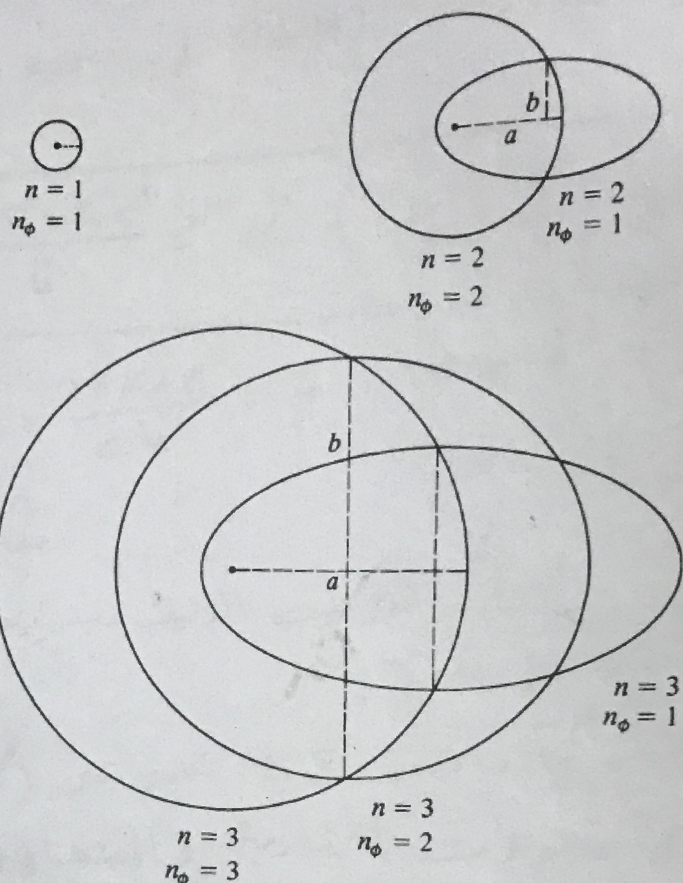


Figure (3) Possible electronic orbits for a given total quantum number n .

الشكل (2) المدارات الالكترونية المسمكة اذا كان العدد الكمي (n) معرفاً.

(23)

$$\Delta E = -\frac{2\pi^2 m k_e e^4}{h^2} Z^4 \alpha^2 \left(\frac{n}{n_b} - \frac{3}{4} \right) \frac{1}{n^4}$$

$$\text{Where } \alpha = \frac{2\pi K_e e^2}{ch} = 7.297 \times 10^{-3} = \frac{1}{137}$$

التحقيق النسبي لعلاقة المدار
مع نظرية سرائيل

حيث (α) يسمى ثابت الترسيب الذي يسمى
Sommerfeld Fine Structure Constant

ومن هنا يتضح أن العلاقة بين تعدد (٦٤) الذي له تأثير
على انتشار مسئوليات المتقربة والمتجاورة حيث :

Degenerate

المقدمة

$$\left\{ \begin{array}{l} \text{مستويات طاقة } n=1 \quad \text{فقط مستويات طاقة واحدة} \\ \text{مستويات طاقة } n=2 \quad \text{مستويات طاقة - فتح} \\ \text{مستويات طاقة } n=3 \quad \text{مستويات طاقة} \end{array} \right. \quad \left. \begin{array}{l} n_\phi = 1 \\ n_\phi = 1, \text{ or } 2 \\ n_\phi = 1, 2, 3 \end{array} \right. \quad \left. \begin{array}{l} ① \\ ② \\ ③ \end{array} \right.$$

حيث الاستقلالات المنشورة بين المنشآت للدكتور الحسيني

$$\Delta \psi = +1$$

(Selection rule)

Ref p252 , Introduction to Atomic & Nuclear physics,

Henry Semat

د. نبيل جنان بهنام فتوحی
جامعة بغداد / كلية العلوم للبنات
قسم الفنون

(24)

جزء من المول الموجي لغودون يتبع من ذرة الهيدروجين
نستقل $n=5 \rightarrow n=2$

$$\text{SOL } z=1, n_f=2, n_i=5, R = 1.097 \times 10^{-3} \text{ Å}^2$$

$$\frac{1}{\lambda} = R \left(\frac{1}{n_f^2} - \frac{1}{n_i^2} \right) = 1.097 \times 10^{-3} \text{ Å}^2 \left[\frac{1}{2^2} - \frac{1}{5^2} \right]$$

$$\lambda = 1340 \text{ Å}$$

د. نبيل جنان بنهان فتوحى
جامعة بغداد / كلية العلوم للبنات
قسم الفيزياء

$\sim \cdot \sim \cdot \sim \cdot \sim$
جزء من المول الموجي طبقاً لسلسلة المول لذرة الهيدروجين يقابل
الانتقاء H_a .

$$\text{SOL } n_f=2, n_i=3 \\ n(2) \xrightarrow{\text{انتقاء}} n(3)$$

من سلسلة

$$\frac{1}{\lambda} = R \left(\frac{1}{n_f^2} - \frac{1}{n_i^2} \right) = 1.097 \times 10^{-3} \text{ Å}^2 \left[\frac{1}{2^2} - \frac{1}{3^2} \right]$$

$$\lambda = 6563.35 \text{ Å}$$

$\sim \cdot \sim \cdot \sim \cdot \sim$

جزء من الكترون يسفلدم مع ذرة صيرروجين حيث كانت في
المستوى الارضي وترسيحت الى المستوى ($n=3$). صادر
الطاقة التي اعطيت لذرة الهيدروجين في هذه التعداد تغير امكن
(الطاقة غير محفوظة).

$$\text{SOL } n_i=1, n_f=3, z=1, \Delta E = -13.6 z^2 \left[\frac{1}{n_f^2} - \frac{1}{n_i^2} \right]$$

$$\Delta E = -13.6 \left[\frac{1}{3^2} - \frac{1}{1^2} \right] = 12.1 \text{ eV}$$

(25) -5.138 eV المستوي 3S للمعدن Na تأثير الموجة المطردة

Solution

$$E_n = -13.6 \frac{Z_{\text{eff}}^2}{n^2} \text{ eV}$$

من هنا $n=3$

$\therefore 3S$

$$\therefore \boxed{n=3}$$

$$Z_{\text{eff}}^2 = \frac{E(n=3) \cdot n^2}{-13.6} \quad \therefore Z_{\text{eff}} = \sqrt{\frac{E(n=3) \cdot n^2}{-13.6}} = \sqrt{\frac{-5.138 \text{ eV} \cdot 3^2}{-13.6}} = \sqrt{3.04}$$

$$(Z_{\text{eff}} = 1.843 \text{ e})$$

Paschen ملحوظات في الموجة المطردة من الموجة المطردة

SOL

أحدى الموجات المطردة هي الموجة المطردة

$$\frac{1}{\lambda} = 1.097 \times 10^3 \text{ Å}^{-1} \left(\frac{1}{n_f^2} - \frac{1}{n_i^2} \right)$$

$n_i = 5$ صفر $n_f = 3$ و الموجة المطردة هي الموجة المطردة

$$\frac{1}{\lambda} = 1.097 \times 10^3 \left(\frac{1}{3^2} - \frac{1}{5^2} \right) \Rightarrow 12.82 \text{ Å} = \lambda$$

كثافة طول و اقص طول موجي لسلسلة لايمان في السرطان

SOL

$$\frac{1}{\lambda} = 1.097 \times 10^{-3} \text{ Å}^{-1} \left(\frac{1}{n_f^2} - \frac{1}{n_i^2} \right)$$

$$\frac{1}{\lambda} = 1.097 \times 10^{-3} \text{ Å}^{-1} \left(\frac{1}{1^2} - \frac{1}{n_i^2} \right), n_i = 2, 3, 4, \dots$$

$n_i = 2$ كثافة Lyman سلسلة لايمان

$$\frac{1}{\lambda_{max}} = 1.097 \times 10^{-3} \text{ Å}^{-1} \left(\frac{1}{1^2} - \frac{1}{2^2} \right) \Rightarrow 1215 \text{ Å} = \lambda_{max}$$

أقل طول موجي يجب ان يكون $n_i = \infty$

$$\frac{1}{\lambda_{min}} = 1.097 \times 10^{-3} \text{ Å}^{-1} \left(\frac{1}{1^2} - \frac{1}{\infty^2} \right) \Rightarrow \lambda_{min} = 912 \text{ Å}$$

كثافة اذ امان $n=2$ جديه ② الطاقة اطهاره ① السرطان

SOL

$$① E_n = -13.6 \text{ eV} \left(\frac{Z^2}{n^2} \right) = -\frac{13.6 \text{ eV}}{2^2} = -3.4 \text{ eV}$$

$$② v_n = \frac{Z}{n} v_0 = \frac{v_0}{2} = \frac{2.1976 \times 10^6 \text{ m/s}}{2} = 1.0988 \times 10^6 \text{ m/sec}$$

$$③ r_n = n^2 r_0 / Z$$

$$r_2 = \frac{2^2 r_0}{1} = 4 r_0 = 4 \times 0.5291 \text{ Å} = 2.1164 \text{ Å}$$